

## 快报

# 裂变核鞍点有效转动惯量的计算

陈信义 胡济民  
(北京大学)

### 摘要

用密度变化的连续介质模型计算了裂变核 $^{170}\text{Yb}$  和 $^{254}\text{Fm}$  鞍点有效转动惯量及电荷分布。

### 一、引言

有效转动惯量  $J_0/J_{\text{eff}} = J_0(J_{\perp} - J_{\parallel})/(J_{\perp}J_{\parallel})$  是描述鞍点核形变的一个重要量，它可由分析反应碎片角分布实验数据得到。这里  $J_{\perp}$  和  $J_{\parallel}$  分别代表垂直和平行于核对称轴方向的核的转动惯量， $J_0$  为相应球形核转动惯量。理论计算常采用旋转液滴模型(RLDM)<sup>[1]</sup>。但核内物质及电荷的分布是不均匀的。对于鞍点形变较大的裂变核，密度的变化对  $J_{\text{eff}}$  影响较大，如仍将裂变核看作是均匀带电的旋转液滴，则难免影响计算结果的可靠性。本文考虑了核密度的变化，用连续介质模型计算了裂变核 $^{170}\text{Yb}$  和 $^{254}\text{Fm}$  鞍点有效转动惯量及电荷分布等。

### 二、模型

应用连续介质模型<sup>[2]</sup>，将角动量为  $I\hbar$  的转动核能量中形变相关部分表示为质子密度  $\rho_p$  和中子密度  $\rho_n$  的如下泛函

$$E[\rho_p, \rho_n; I] = \alpha \int |\nabla \rho_0| dV + \beta \int [(\rho_p - \rho_0)^2 + s(\rho_p + \rho_n - \rho_0)^2]/(\Phi \rho_0) dV \\ + \frac{e^2}{2a} \iint \frac{\rho_p(r_1)\rho_p(r_2)}{|r_1 - r_2|} dV_1 dV_2 + \frac{1}{2} \frac{I^2}{Ja^2}, \quad (1)$$

上式右边四项分别代表表面能、压缩能、库仑能和转动能， $\Phi = (1 - \gamma |\nabla \rho_0|/\rho_0)^{-1}$ ， $J$  为刚体转动惯量

$$J = M \int (x^2 + y^2)(\rho_p + \rho_n) dV, \quad (2)$$

而  $\alpha$ 、 $\beta$ 、 $\gamma$  和  $s$  等是可调参量。式中引入的参考密度  $\rho_0$  取成费米分布的形式

$$\rho_0 = \frac{z}{4\pi a^3} \frac{1 + \exp(-R/a)}{1 + \exp[(r/\mu - R)/a]}, \quad (3)$$

其中

$$\begin{aligned} R &= R_0 f / \mu, \\ f &= 1 + \alpha_{20} Y_{20}(\theta) + \alpha_{22} [Y_{2-2}(\theta, \varphi) + Y_{22}(\theta, \varphi)] / \sqrt{2} + \dots, \\ \mu &= \left[ 1 + \left( \frac{\partial f}{\partial \theta} / f \right)^2 + \left( \frac{\partial f}{\partial \varphi} / f \right)^2 / \sin^2 \theta \right]^\sigma. \end{aligned} \quad (4)$$

当取  $\sigma \sim 0.5$  时, 费米分布 (3) 的弥散层厚度基本上与形变无关。

在约束  $\int \rho_p dV = Z$ ,  $\int \rho_n dV = N$  下对 (1) 式作变分可导出  $\rho_p$  和  $\rho_n$  所满足的积分方程。通过求解这方程可计算裂变核的位能曲面、鞍点密度分布及  $J_{\text{eff}}$ 。

表 1 是参量值。用这组参量, 微观能量采用 Möller 和 Nix 的结果<sup>[3]</sup>计算 1526 个核质量与实验数据的均方差为 0.9 MeV, 并预言了合理的裂变位垒高度。

表 1

$a(\text{fm})$	$t$	$\alpha(\text{MeV})$	$\beta(\text{MeV})$	$\gamma$	$s$	$\sigma$
0.5361	0.325	14.5843	26.1003	0.45	0.5347	0.545

### 三、结 果

图 1 给出了  $J_0/J_{\text{eff}}$  与角动量  $\langle I^2 \rangle$  的关系, 实线是本文用密度变化的连续介质模型计算的曲线, 虚线是 RLDM 计算结果<sup>[4,5]</sup>。由图可知: 密度的变化使  $^{170}\text{Yb}$  的  $J_0/J_{\text{eff}}$  降低约 0.3, 但对  $^{254}\text{Fm}$  的  $J_0/J_{\text{eff}}$  影响很小。这是因为  $^{170}\text{Yb}$  的鞍点形变比  $^{254}\text{Fm}$  的大得多(见图 2), 密度的变化对  $J_{\text{eff}}$  的效应更显著。图 2 用 Y-Z (转动轴) 平面上的等密度线给出了  $^{170}\text{Yb}$  和  $^{254}\text{Fm}$  的鞍点形变及电荷不均匀分布情况。图 3 是计算的裂变核裂变位垒高度  $B_f$  随  $I$  的变化曲线。

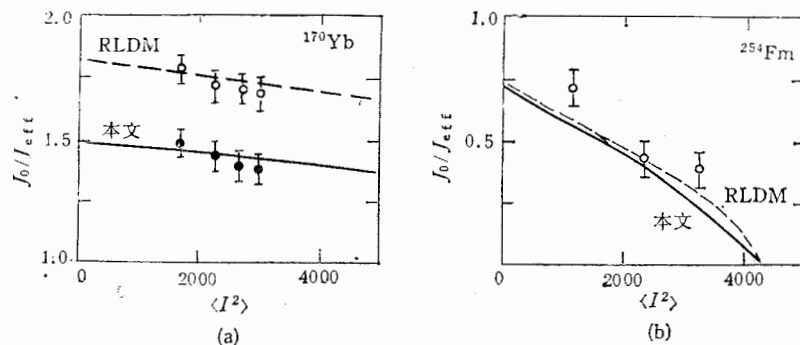


图 1 裂变核  $J_0/J_{\text{eff}}$  与角动量  $\langle I^2 \rangle$  的关系

分析实验数据用式  $K_0^2 = T J_{\text{eff}}$  计算  $J_{\text{eff}}$ 。其中  $K_0^2$  代表裂变核角动量在核对称轴方向上投影的均方宽度, 由拟合实验数据得到。 $T = \sqrt{E_{\text{eff}}^*/a_f}$  代表核温度,  $a_f$  和  $E_{\text{eff}}^*$  分别为鞍点处裂变核的能级密度参量和有效激发能,  $E_{\text{eff}}^* = E^* - E_v - B_f - E_r$ ,  $E^*$  代表

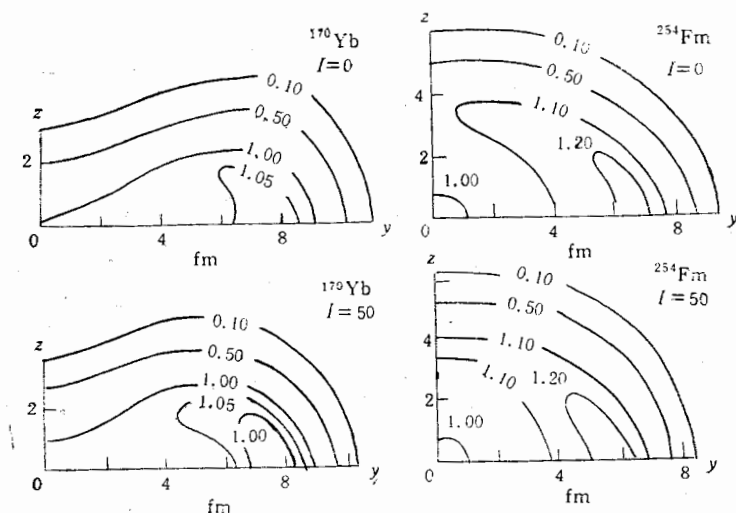
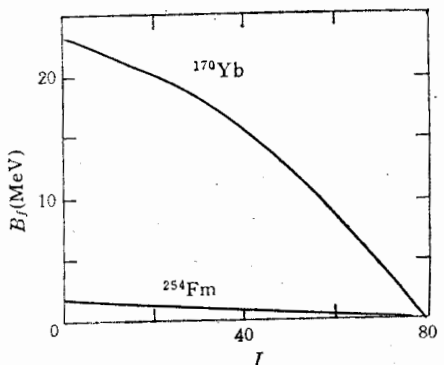


图2 裂变核鞍点电荷分布

图3 裂变位垒高度  $B_f$  与角动量  $I$  的关系

初始激发能,  $E_\nu$  代表鞍点前裂变核蒸发粒子所损失的能量,  $B_f$  和  $E_\nu$  分别是由模型计算给出的裂变位垒高度和转动能量。

图1(a) 中 $\square$ 代表分析  $115\text{ MeV }^{11}\text{B} + ^{159}\text{Tb}$ ,  $126\text{ MeV }^{12}\text{C} + ^{158}\text{Gd}$ ,  $137\text{ MeV }^{16}\text{O} + ^{154}\text{Sm}$  和  $144\text{ MeV }^{20}\text{Ne} + ^{150}\text{Nd}$  反应碎片角分布实验数据<sup>[6]</sup>得出的  $^{170}\text{Yb}$  的  $J_0/J_{\text{eff}}$  值, 而 $\blacksquare$ 代表文献[4]的分析结果。文献[4]取  $E_\nu = 0$  即假定鞍点前  $^{170}\text{Yb}$  不蒸发粒子, 并将  $a_f$  取成基态值  $A/8\text{ MeV}^{-1}$ 。但因上述反应的激发能较高 ( $E^* \sim 107\text{ MeV}$ )<sup>[6]</sup>, 鞍点形变较大, 所以裂变核在鞍点前就会蒸发粒子<sup>[7]</sup>, 我们假定  $E_\nu = 20\text{ MeV}$ 。此外  $a_f$  与形变有关, 它比基态值大<sup>[8]</sup>, 文中取  $a_f = 1.5A/8\text{ MeV}^{-1}$ 。对于反应  $^{16}\text{O} + ^{238}\text{U} \rightarrow ^{254}\text{Fm}$ , 因裂变核鞍点形变较小, 则可近似取  $E_\nu = 0$  及  $a_f = A/8\text{ MeV}^{-1}$ .  $^{254}\text{Fm}$  的  $J_0/J_{\text{eff}}$  实验分析值如图1(b) 中的 $\blacksquare$ 所示<sup>[5]</sup>。

核密度的变化是一个宏观自由度。计算表明: 在象裂变核为  $^{170}\text{Yb}$  的重粒子反应这样的大形变核过程中, 密度自由度不可忽略。

### 参 考 文 献

- [1] S. Cohen and W. J. Switecki, *Ann. Phys.*, 82(1974), 557.
- [2] 胡济民、郑春开, 原子核物理, 7(1985), 1.
- [3] P. Moller and J. R. Nix, *Atomic Data and Nuclear Data Tables*, 26(1981), 165.
- [4] 刘国兴, 高能物理与核物理, 11(1987), 98.
- [5] B. B. Back et al., *Phys. Rev. Lett.*, 50(1983), 818.
- [6] A. M. Zebelman et al., *Phys. Rev.*, C10(1974), 200.
- [7] P. Grange et al., *Phys. Rev.*, C34(1986), 209.
- [8] M. Brack et al., *Phys. Rev.*, 123(1985), 275.

## CALCULATION OF THE EFFECTIVE MOMENT OF INERTIA OF FISSIONING NUCLEI AT SADDLE POINT

CHEN XINYI HU JIMIN

(Peking University)

### ABSTRACT

The effective moment of inertia, charge density distributions of the fissioning nucleus  $^{170}\text{Yb}$  and  $^{254}\text{Fm}$  at saddle point are calculated by using the continuous medium model with variable densities.

## 更 正

本刊1989年第2期第99页图3,因版制坏,现更正如下,并向作者、读者致歉。

